

## ОСЕСИММЕТРИЧЕСКИЕ ТЕЧЕНИЯ ИДЕАЛЬНОГО ГАЗА И ИХ ВЗАЙМОДЕЙСТВИЕ С ПРЕГРАДАМИ\*

Изучается взаимодействие течений идеального газа с препятствиями. Особое внимание уделено влиянию закрученности сверхзвуковой струи на ее структуру и параметры автоколебаний, возникающих при ее столкновении с препятствиями.

Данная работа продолжает и расширяет тематику работ [1 – 4].

Осьсимметрические течения идеального газа в цилиндрических координатах описываются системой уравнений Эйлера:

$$\frac{\partial U}{\partial t} + \frac{\partial F}{\partial x} + \frac{\partial G}{\partial r} + H = 0, \quad (1)$$

$$\text{где } U = \begin{pmatrix} \rho \\ \rho u \\ \rho v \\ \rho w \\ e \end{pmatrix}, \quad F = \begin{pmatrix} \rho u \\ p + \rho u^2 \\ \rho u v \\ \rho u w \\ (e+p) u \end{pmatrix}, \quad G = \begin{pmatrix} \rho v \\ \rho u v \\ p + \rho v^2 \\ \rho v w \\ (e+p)v \end{pmatrix}, \quad H = \frac{1}{r} \begin{pmatrix} \rho v \\ \rho u v \\ \rho (v^2 - w^2) \\ 2\rho v w \\ (e+p)v \end{pmatrix},$$

где  $p$ ,  $\rho$ ,  $u, v, w$  – соответственно давление, плотность и компоненты скорости – осевая, радиальная и окружная,

$$e = \frac{p}{(\gamma - 1)} + 0.5\rho (u^2 + v^2 + w^2).$$

Для расчетов применялась явная разностная схема третьего порядка аппроксимации [5] на равномерной сетке с шагами  $h_x = 0.1$ ,  $h_r = 0.05$ .

Расчетная область прямоугольная:  $0 < x < x_N = 10$ ;  $0 < r < r_N = 7$ . При наличии препятствия расстояние до него от среза сопла задается величиной  $l$ , радиус –  $r_c$ , глубина полости в препятствии –  $L$ .

Исходные данные: во всей области покоящийся газ с  $p = \rho = 1$ , на срезе сопла ( $x = 0$ , радиус сопла  $r = 1$ ) запускается расчетная сверхзвуковая струя с параметрами  $p = \rho = 1$ ,  $u = 2$ ,  $v = \omega = 0$ , число Маха  $M = \sqrt{\gamma}$ ,

\* Работа выполнена при финансовой поддержке РФФИ (99-01-00129, 01-01-00116).

=1.4. После того как происходит стабилизация течения во всей области, на срезе сопла задается закручивание струи с окружной скоростью  $w = \omega * r$ , где угловая скорость  $\omega$  постоянна.

На рисунках 1 и 2 – графики  $p(x)$  и  $u(x)$  на оси в установившемся течении закрученной свободной струи с  $\omega = 2$  (сплошная линия) и  $\omega = 3$  (пунктир). Как видно из этих графиков, струя, которая до закручивания была расчетной, приобрела четко выраженную бочкообразную структуру, которая весьма существенно зависит от величины  $\omega$ . Прежде всего это касается расположения разрывов. Отметим также, что  $p(x) < 1$  везде при  $x > 0$ , то есть меньше давления в окружающей среде, что характерно для перерасширенных струй.

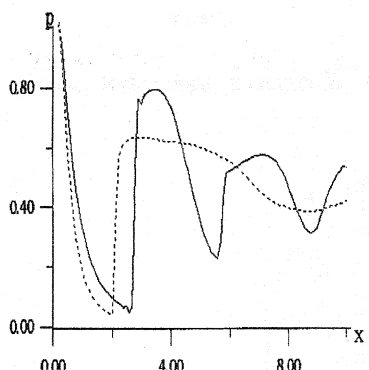


Рис.1

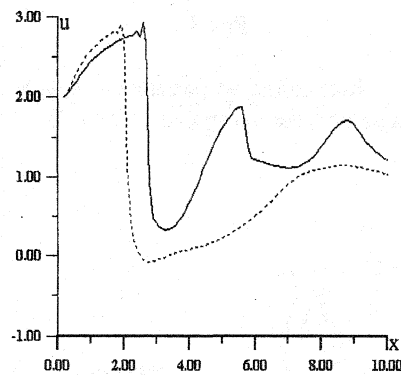


Рис2

Далее рассмотрим взаимодействие струй с цилиндрическим торцом радиуса  $r_c = 1.3$ , расположенного на расстоянии  $l = 3.5$  от сопла. На рисунке 3 показаны графики колебаний давления в центре торца для струи, закрученной на срезе сопла с угловой скоростью  $\omega = 2$  (сплошная линия) и незакрученной расчетной струи (пунктир). Вторая из них дает незначительные осцилляции. На рисунках 4,5,6 показано распределение значений функций  $p$ ,  $v$ ,  $w$  по радиусу вблизи преграды в четырех фазах одного периода. Эти фазы соответствуют точкам 1- 4 на рисунке 3 -на графике давления  $p(t)$  в этом периоде.

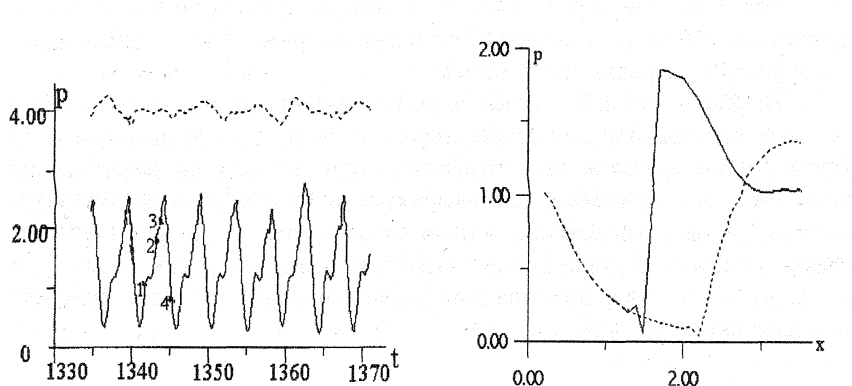


Рис.3

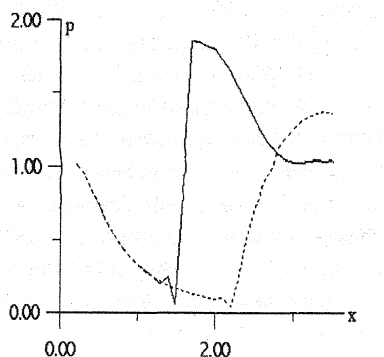


Рис.4

Как видно из рисунка 4, в фазе 2 и 3 образуется максимум давления на кромке преграды ( $r=1.3$ ).

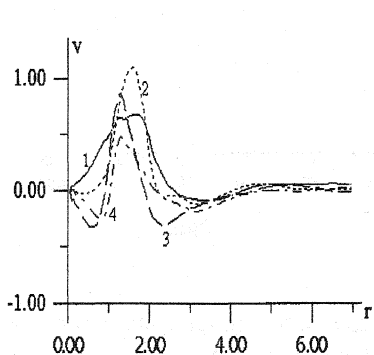


Рис.5

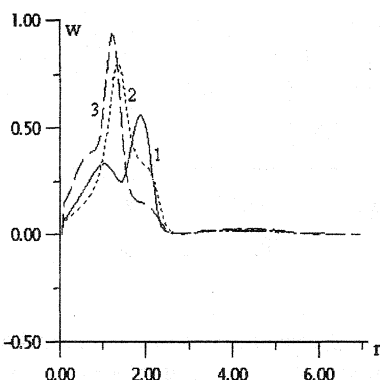


Рис.6

На графике  $v(r)$  видно, что наряду с интенсивным веерным растеканием ( $\max v(r) \approx 1$  при  $r > r_c$ ) образуется и возвратное течение по направлению к оси ( $\min(v(r) \approx -0.4)$ ). Для  $r < r_c$  это следствие наличия периферийного максимума давления на преграде. Наибольшие значения  $w(r)$  (рис.6) достигаются во второй и третьей фазе на кромке преграды.

Рисунки 7 и 8, на которых изображены  $u(x)$  и  $p(x)$  на оси, показывают крайние положения центрального скачка на протяжении одного периода автоколебаний, которые отличаются на величину  $\sim 1$ .

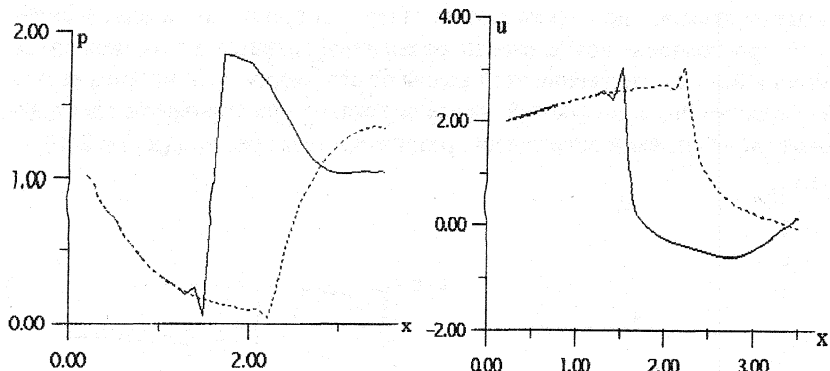


Рис.7

Рис.8

Расчеты обтекания торца радиуса 0.7, расположенного на расстоянии  $l = 3.5$  от сопла, как закрученной, так и незакрученной струей показали отсутствие заметных колебаний. В первом случае это объясняется тем, что закрученная струя расширяется примерно до такого же радиуса ( $\sim 1.5$ ), как незакрученная нерасчетности 3, которая при обтекании преграды радиуса 0.7 тоже не дает автоколебаний. Результаты таких расчетов приведены, например, в [ 6 ]. Среднее значение давления в центре торца  $\sim 1$ . Для незакрученной расчетной струи среднее значение давления близко к значению давления за отошедшей ударной волной ( $p = 4.070$ ) при обтекании этого цилиндра однородным потоком с теми же параметрами, однако в последнем случае течение быстро устанавливается и осцилляции полностью отсутствуют. Так же близки координата центрального скачка на оси ( $x = 2.7$ ), которая не меняется в процессе счета, и соответствующая координата отошедшей ударной волны при обтекании однородным потоком ( $x = 2.6$ ).

Основной вывод из вышеизложенного состоит в том, что закручивание струи на срезе сопла и возникающие при этом центробежные силы оказывают весьма существенное влияние на структуру струи и характер ее взаимодействия с преградами.

Другой вопрос, связанный с закрученными течениями, состоит в том, при каких условиях они могут возникать, если закручивание не задано ни в начальных, ни в граничных условиях.

Рассмотрим следующую задачу. Имеется цилиндрическая полость  $0 < x < x_N = 10$ ,  $0 < r < r_N = 7$ , заполненная покоящимся газом с параметрами  $p = \rho = 1$ . При  $x = x_N$  в полости имеется отверстие радиуса 1, и на этой части границы заданы постоянные значения  $p = \rho = 0.5$ , а на внешней границе  $r = r_N$  - соответственно  $p = \rho = 10$ . Следствием этих перепадов

давления является истечение газа из отверстия при  $x = x_N$  и одновременно распространение волны сжатия от внешней границы  $r = r_N$  по направлению к оси. До отражения этой волны от оси скорость  $u$  истечения газа из отверстия была дозвуковой, после отражения она становится сверхзвуковой ( $M \sim 4$ ) и такой остается на протяжении всего расчета (до  $t = 200$ ).

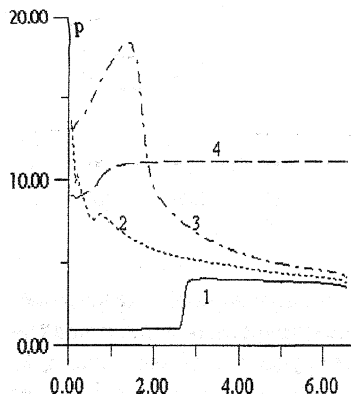


Рис.9

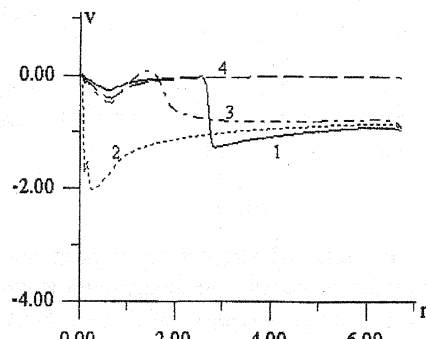


Рис.10

На рисунках 9,10,11 – графики функций  $p(r)$ ,  $v(r)$  и угловая скорость  $\omega(r)$  при  $x = 9.6$  в моменты времени  $t = 2,3,4,200$ , помеченные соответственно

цифрами 1,2,3,4.

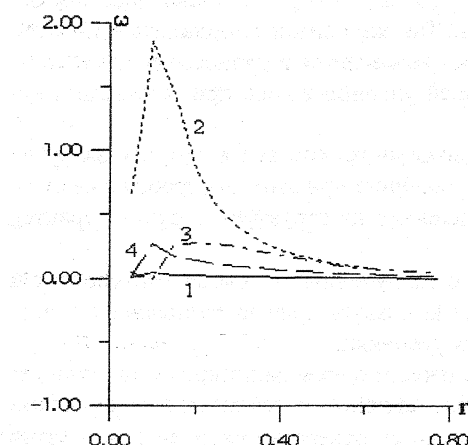


рис.11

На рисунке 9 показано изменение давления до подхода волны сжатия к оси, в момент отражения от оси, после отражения и установившийся профиль ( $t=200$ ). На рисунках 10,11 изображены компоненты скорости  $v(r)$  и  $\omega(r)$  в те же моменты времени. Заметим, что  $\min v(r) \sim -2$  и  $\max \omega(r) \sim 1.9$  достигаются в момент отражения волны сжатия от оси ( $t=3$ ) и уже при  $t = 4$  резко уменьшаются.

Однако  $\omega(r)$  при  $t = 200$  сохраняет то же максимальное значение, какое было при  $t = 4$ , а  $\min v(r) \sim -1$  при  $t = 4$ , а при  $t = 200$  он близок к 0.

В установившемся течении ( $t = 200$ ) при удалении от отверстия в полости по оси  $x$  на расстояние большее 1.5 осевая скорость  $u(x, r)$  и угловая  $\omega(x, r)$  становятся практически нулевыми, давление равно 10.

Еще более сильное закручивание газа при истечении его из отверстия полости происходит, если в полость вдувается закрученная струя ( $\omega=2$ ) из сопла, срез которого находится на противоположной стенке полости. Струя расчетная,  $M = \frac{2}{\sqrt{\gamma}}$ . С внешней границы  $r = r_N$  производится вдув газа со скоростью  $v = -2$ ,  $p = \rho = 1$ . В этом случае в установившемся течении сохраняется  $\max \omega(r)$  вблизи отверстия при  $r = 0.4$ , равный 4.4, то есть более чем вдвое превышающий угловую скорость, заданную на срезе сопла. Максимум окружной скорости на краю выходного отверстия  $W = 4.0$ . Если закрутку на срезе сопла отключить, то и закрученность потока на выходе из отверстия резко уменьшается, но не исчезает полностью. Устанавливается течение с  $\max \omega(r) = 0.83$  при  $r = 0.1$ ,  $x = 9.8$ .

Как показано в [1–4] важную роль в формировании автоколебательного режима при обтекании струей преграды играет веерное растекание газа от преграды и образующиеся при этом обратные радиальные импульсы, направленные к оси. В связи с этим возникает вопрос: нельзя ли усилить их воздействие на струю с помощью цилиндрического экрана, поставленного на пути веерного растекания. Проведенные расчеты показали, что в принципе это возможно. При этом важно подобрать оптимальный радиус экрана, так как слишком малый радиус приводит к разрушению периодичности течения, а при чрезмерно большом экран перестает влиять на струю.

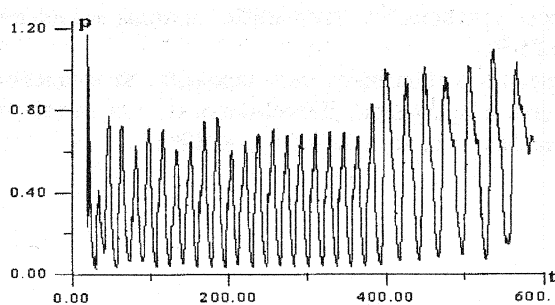


Рис.12

На рисунке 12 представлен график колебаний давления на дне препреграды радиуса  $r_c=1.4$ , поставленной на расстоянии  $l = 6$  от сопла. Препреграда – полузамкнутая полость глубины  $L=1.5$ . Сверхзвуковая струя с нерасчетностью  $n = 3$  и числом Маха  $M = 1.5$ . После момента времени  $t = 365$  при  $x > 5$  установлен экран радиуса  $r_{экр}=7$ . На графике виден существенный рост амплитуды колебаний, однако при этом увеличился и период.

Проводились также расчеты с экранами других радиусов при тех же параметрах струи и препреграды. Они показали, что наибольшее увеличение амплитуды без разрушения периодичности колебаний происходит при  $5 \leq r_{экр} \leq 7$ .

## Литература.

1. Базаров С.Б., Росляков Г.С., Садков Ю.Н., Шустова М.В. Сверхзвуковые нерасчетные струи и их взаимодействие с препреградами// Мат. моделирование, т.8, №6, 1996, стр.19-23.
2. Базаров С.Б., Росляков Г.С., Садков Ю.Н., Шустова М.В. Численное моделирование автоколебаний при натекании сверхзвуковой нерасчетной струи на полость. // Обратные задачи естествознания. МГУ, 1997, стр 181-188.
3. Росляков Г.С., Садков Ю.Н.. Влияние граничных условий на автоколебания в резонаторе Гартмана.// Методы математического моделирования. МГУ, 1998,стр.69-75.
4. Росляков Г.С., Садков Ю.Н. Автоколебания при взаимодействии сверхзвуковых течений с препреградами.//Прикладная математика и информатика. № 3.МГУ, 1999,стр.71-79.
5. Садков Ю.Н. Один класс схем третьего порядка точности для гиперболических уравнений // Численные методы в аэродинамике, МГУ, 1980,стр.85-91.
6. Альбазаров Б.Ш. Численное моделирование взаимодействия сверхзвуковой струи с препреградой. Диссертация на соискание ученой степени кандидата физ.-мат. наук, Красноярск, 1991.